



**HAL**  
open science

# Algorithmes et Implémentations Optimisées de Calculs Cryptographiques sur les Courbes Elliptiques Binaires

Jean-Marc Robert

► **To cite this version:**

Jean-Marc Robert. Algorithmes et Implémentations Optimisées de Calculs Cryptographiques sur les Courbes Elliptiques Binaires. C2: Journées Codage et Cryptographie, GT-C2, Oct 2012, Dinard, France. lirmm-01121958

**HAL Id: lirmm-01121958**

**<https://hal-lirmm.ccsd.cnrs.fr/lirmm-01121958v1>**

Submitted on 24 Apr 2015

**HAL** is a multi-disciplinary open access archive for the deposit and dissemination of scientific research documents, whether they are published or not. The documents may come from teaching and research institutions in France or abroad, or from public or private research centers.

L'archive ouverte pluridisciplinaire **HAL**, est destinée au dépôt et à la diffusion de documents scientifiques de niveau recherche, publiés ou non, émanant des établissements d'enseignement et de recherche français ou étrangers, des laboratoires publics ou privés.

# Algorithmes et Implémentations Optimisées de Calculs Cryptographiques sur les Courbes Elliptiques Binaires

Jean-Marc ROBERT

Team DALI/LIRMM, Université de Perpignan, France

Journées C2, Dinard, le 11 Octobre 2012



**UPVD**  
Université de Perpignan Via Domitia



# Table des matières

## 1 Problématique

- Exemple d'Application : Échange de clé de Diffie-Hellmann
- Le Produit Scalaire de Points
- Optimisation  $AB$ ,  $AC$  et  $AB + CD$

## 2 Implémentations

- Vue Générale des Implémentations
- Implémentations du Produit Scalaire : Atteindre l'Etat de l'Art
- Optimisations du Produit Scalaire

## 3 Conclusion

# Algorithmes et Implémentations Optimisées

## 1 Problématique

- Exemple d'Application : Échange de clé de Diffie-Hellmann
- Le Produit Scalaire de Points
- Optimisation  $AB$ ,  $AC$  et  $AB + CD$

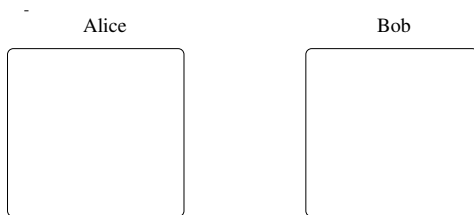
## 2 Implémentations

- Vue Générale des Implémentations
- Implémentations du Produit Scalaire : Atteindre l'Etat de l'Art
- Optimisations du Produit Scalaire

## 3 Conclusion

# Échange de Clé de Diffie-Hellmann

Alice et Bob s'accordent sur un groupe  $(G, +, \mathcal{O})$  et un point  $P$ , générateur du groupe.



# Échange de Clé de Diffie-Hellmann

Alice et Bob s'accordent sur un groupe  $(G, +, \mathcal{O})$  et un point  $P$ , générateur du groupe.

Alice

$a \leftarrow \text{random}()$

Bob

$b \leftarrow \text{random}()$

# Échange de Clé de Diffie-Hellmann

Alice et Bob s'accordent sur un groupe  $(G, +, \mathcal{O})$  et un point  $P$ , générateur du groupe.

Alice

$a \leftarrow \text{random}()$

Calcule  $A = a \cdot P$

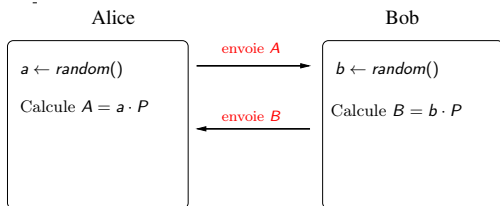
Bob

$b \leftarrow \text{random}()$

Calcule  $B = b \cdot P$

# Échange de Clé de Diffie-Hellmann

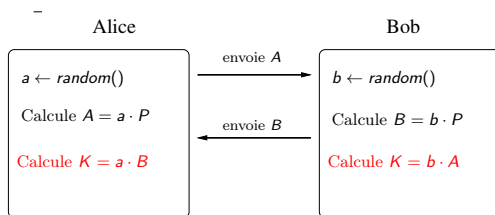
Alice et Bob s'accordent sur un groupe  $(G, +, \mathcal{O})$  et un point  $P$ , générateur du groupe.





# Échange de Clé de Diffie-Hellmann

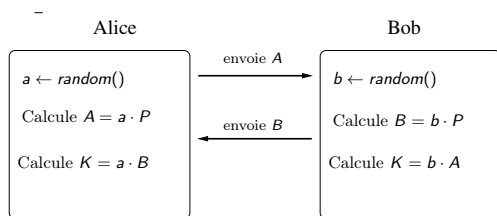
Alice et Bob s'accordent sur un groupe  $(G, +, \mathcal{O})$  et un point  $P$ , générateur du groupe.



Clé secrète Partagée  $K = a \cdot b \cdot P$

# Échange de Clé de Diffie-Hellmann

Alice et Bob s'accordent sur un groupe  $(G, +, \mathcal{O})$  et un point  $P$ , générateur du groupe.

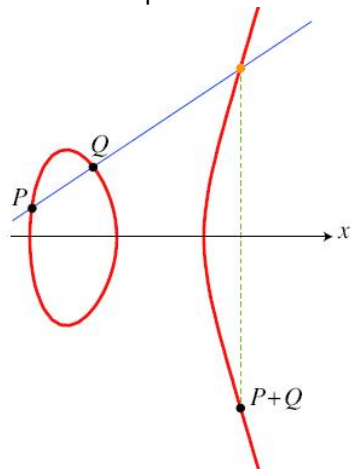


Clé secrète partagée  $K = a \cdot b \cdot P$

→ Le produit scalaire  $a \cdot P$  est la principale opération.

# Courbe Elliptique sur $\mathbb{F}_{2^m}$

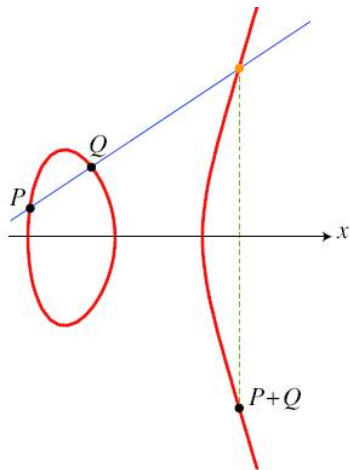
Exemples sur  $\mathbb{R}$  :



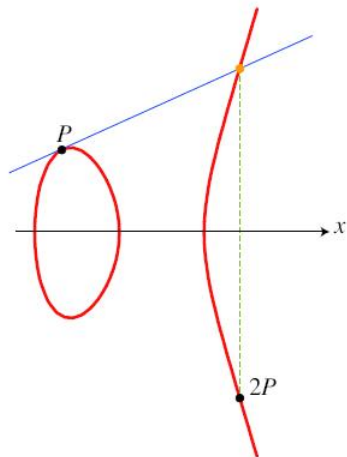
Addition de points

# Courbe Elliptique sur $\mathbb{F}_{2^m}$

Exemples sur  $\mathbb{R}$  :



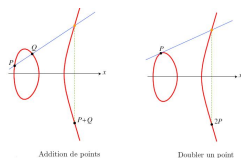
Addition de points



Doubler un point

# Courbe Elliptique sur $\mathbb{F}_{2^m}$

Notre courbe est sur  $\mathbb{F}_{2^m}$  (et non  $\mathbb{R}$ ) :



$$E : Y^2 + XY = X^3 + aX^2 + b, \quad a, b \in \mathbb{F}_{2^m}.$$

- Les coordonnées des points appartiennent à  $\mathbb{F}_{2^m} = \mathbb{F}_2[x]/(f(x) \cdot \mathbb{F}_2[x])$
- Soit  $A = \sum_{i=0}^{m-1} a_i \cdot x^i$  et  $B = \sum_{i=0}^{m-1} b_i \cdot x^i$ ,  $a_i, b_i \in \{0, 1\}$

$$\text{alors : } A + B = \sum_{i=0}^{m-1} (a_i + b_i) \cdot x^i,$$

$$\text{et : } A \times B = A \cdot B \pmod{f}.$$

# Algorithmes et Implémentations Optimisées

## 1 Problématique

- Exemple d'Application : Échange de clé de Diffie-Hellmann
- **Le Produit Scalaire de Points**
- Optimisation  $AB, AC$  et  $AB + CD$

## 2 Implémentations

- Vue Générale des Implémentations
- Implémentations du Produit Scalaire : Atteindre l'Etat de l'Art
- Optimisations du Produit Scalaire

## 3 Conclusion

# Opérations sur Courbes elliptiques

Les formules pour le doublement et l'addition sont :

$$\begin{cases} x_3 = \lambda^2 + \lambda + x_1 + x_2 + a \\ y_3 = (x_1 + x_3)\lambda + x_3 + y_1 \end{cases} \quad \text{avec} \quad \begin{cases} \lambda = \frac{y_1 + y_2}{x_1 + x_2} \text{ if } P_1 \neq P_2 \\ \lambda = \frac{y_1}{x_1} + x_1 \text{ if } P_1 = P_2 \end{cases}$$

# Opérations sur Courbes elliptiques

Les formules pour le doublement et l'addition sont :

$$\begin{cases} x_3 = \lambda^2 + \lambda + x_1 + x_2 + a \\ y_3 = (x_1 + x_3)\lambda + x_3 + y_1 \end{cases} \text{ avec } \begin{cases} \lambda = \frac{y_1 + y_2}{x_1 + x_2} \text{ if } P_1 \neq P_2 \\ \lambda = \frac{y_1}{x_1} + x_1 \text{ if } P_1 = P_2 \end{cases}$$

- Un **doublment** nécessite 1 inversion, 2 multiplications, 1 élévation au carré, et 8 additions de polynômes ;
- Une **addition** nécessite 1 inversion, 2 multiplications, 1 élévation au carré, et 9 additions de polynômes ;



## Points de Courbes Elliptiques : Coordonnées Projectives

- Lopez-Dahab ont montré l'intérêt des coordonnées "projectives". Un point en coordonnées affines est transformé comme suit :

$$P = (x, y) \text{ devient } (X : Y : Z) \text{ avec } \begin{cases} x = \frac{X}{Z} \\ y = \frac{Y}{Z^2} \end{cases}$$

## Points de Courbes Elliptiques : Coordonnées Projectives

- Lopez-Dahab ont montré l'intérêt des coordonnées "projectives". Un point en coordonnées affines est transformé comme suit :

$$P = (x, y) \text{ devient } (X : Y : Z) \text{ avec } \begin{cases} x = \frac{X}{Z} \\ y = \frac{Y}{Z^2} \end{cases}$$

- Maintenant, on effectue le doublement de la façon suivante :

$$2.(X : Y : Z) = (X_1 : Y_1 : Z_1) \text{ avec } \begin{cases} X_1 = X^4 + b \cdot Z^4 \\ Y_1 = bZ^4 \cdot Z_1 + X_1 \cdot (aZ_1 + Y^2 + bZ^4) \\ Z_1 = X^2 \cdot Z^2 \end{cases}$$

## Points de Courbes Elliptiques : Coordonnées Projectives

- Lopez-Dahab ont montré l'intérêt des coordonnées "projectives". Un point en coordonnées affines est transformé comme suit :

$$P = (x, y) \text{ devient } (X : Y : Z) \text{ avec } \begin{cases} x = \frac{X}{Z} \\ y = \frac{Y}{Z^2} \end{cases}$$

- Maintenant, on effectue le doublement de la façon suivante :

$$2.(X : Y : Z) = (X_1 : Y_1 : Z_1) \text{ avec } \begin{cases} X_1 = X^4 + b \cdot Z^4 \\ Y_1 = bZ^4 \cdot Z_1 + X_1 \cdot (aZ_1 + Y^2 + bZ^4) \\ Z_1 = X^2 \cdot Z^2 \end{cases}$$

- Les coordonnées *PL* (Kim-Kim) diminuent encore la complexité.

Operation	Affine	Lopez-Dahab	Kim-Kim
Doublement	2M + 1S + 3R + 1I	4M + 4S + 8R	4M + 5S + 7R
Addition	2M + 1S + 3R + 1I	9M + 5S + 14R	8M + 5S + 9R

## L'Algorithme de Produit Scalaire : *Double-and-add*

- Soit  $k = (k_{n-1}, \dots, k_1, k_0)_2 \in \mathbb{N}$ ,  $P \in E(\mathbb{F}_{2^m})$

$$\begin{aligned}k \cdot P &= \left( \sum_{i=0}^{n-1} 2^i k_i \right) \cdot P \\&= (k_0 + 2(k_1 + 2(k_2 + 2(\dots + 2k_{n-1}) \dots)))) \cdot P \\&= (k_0 \cdot P + 2(k_1 \cdot P + 2(k_2 \cdot P + 2(\dots + 2(k_{n-2} \cdot P + 2k_{n-1} \cdot P) \dots))))\end{aligned}$$

## L'Algorithme de Produit Scalaire : *Double-and-add*

- Soit  $k = (k_{n-1}, \dots, k_1, k_0)_2 \in \mathbb{N}$ ,  $P \in E(\mathbb{F}_{2^m})$

$$\begin{aligned}k \cdot P &= \left( \sum_{i=0}^{n-1} 2^i k_i \right) \cdot P \\ &= (k_0 + 2(k_1 + 2(k_2 + 2(\dots + 2k_{n-1})\dots)))) \cdot P \\ &= (k_0 \cdot P + 2(k_1 \cdot P + 2(k_2 \cdot P + 2(\dots + 2(k_{n-2} \cdot P + 2k_{n-1} \cdot P)\dots))))\end{aligned}$$

- On traduit cela dans l'algorithme suivant :

```
1:  $Q \leftarrow \mathcal{O}$ .
2: for  $i$  de  $n-1$  à  $0$  do
3:    $Q \leftarrow 2 \cdot Q$ .
4:   if  $k_i = 1$  then
5:      $Q \leftarrow Q + P$ .
6:   end if
7: end for
8: return ( $Q$ ).
```

## Amélioration de *Double-and-add* : *NAF* et *W-NAF*.

- *NAF* remplace les séquences de 1 consécutifs : soit  $k \in \mathbb{N}$  tel que  $k = 2^i - 1$ , alors

$$(k)_2 = \underbrace{111\dots 1}_{i \text{ fois}} \text{ et on peut écrire : } (k)_{NAF} = \underbrace{100\dots 00}_{i+1 \text{ chiffres}} - 1.$$

- Cette représentation diminue le nombre moyen de chiffres non nuls de  $n/2$  à  $n/3$ .

## Amélioration de *Double-and-add* : *NAF* et *W-NAF*.

- *NAF* remplace les séquences de 1 consécutifs : soit  $k \in \mathbb{N}$  tel que  $k = 2^i - 1$ , alors

$$(k)_2 = \underbrace{111\dots 1}_{i \text{ fois}} \text{ et on peut écrire : } (k)_{NAF} = \underbrace{100\dots 00 - 1}_{i+1 \text{ chiffres}}.$$

- Cette représentation diminue le nombre moyen de chiffres non nuls de  $n/2$  à  $n/3$ .
- *W-NAF* réduit davantage encore le nombre moyen de chiffres non nuls à  $n/(w+1)$  en utilisant des chiffres plus grand :

$$\{-2^{w-1} + 1, \dots, -5, -3, -1, 0, 1, 3, 5, \dots, 2^{w-1} - 1\}.$$

- Bilan sur la complexité du produit scalaire sur  $E(\mathbb{F}_{2^m})$  :

	nb. de doublements	nb. d'additions
<i>Double-and-add</i>	$n$	$n/2$
<i>NAF Double-and-add</i>	$n$	$n/3$
<i>W-NAF Double-and-add</i>	$n$	$n/(w+1) + 2^{w-2}$

# Algorithmes et Implémentations Optimisées

## 1 Problématique

- Exemple d'Application : Échange de clé de Diffie-Hellmann
- Le Produit Scalaire de Points
- Optimisation  $AB, AC$  et  $AB + CD$

## 2 Implémentations

- Vue Générale des Implémentations
- Implémentations du Produit Scalaire : Atteindre l'Etat de l'Art
- Optimisations du Produit Scalaire

## 3 Conclusion



# Opération sur le corps : Multiplication de polynômes

## Algorithme de Karatsuba :

Avec cet algorithme, pour  $A(x)$  et  $B(x)$  de degré  $m - 1$ , on calcule  $C(x) = A(x) \cdot B(x)$  de la manière suivante :

$$\left\{ \begin{array}{l} A(x) = A_h(x)x^{m/2} + A_l(x) \\ B(x) = B_h(x)x^{m/2} + B_l(x) \end{array} \right. \quad \text{On calcule} \quad \left\{ \begin{array}{l} D_0 = A_l \cdot B_l \\ D_1 = (A_l + A_h) \cdot (B_l + B_h) \\ D_2 = A_h \cdot B_h \end{array} \right.$$

$$\text{Et enfin : } C(x) = x^m D_2(x) + x^{m/2}(D_0 + D_1 + D_2) + D_0$$

Cet algorithme peut être implémenté avec l'algorithme **L-R Comb W** pour les produits élémentaires.

## Multiplication de polynômes Left-to-Right Comb W, 64 bits

$$\text{Soit } a(x) = \sum_{i=0}^{m-1} a_i \cdot x^i \text{ et } b(x) = \sum_{i=0}^{m-1} b_i \cdot x^i, \quad a_i, b_i \in \{0, 1\}$$

## Multiplication de polynômes Left-to-Right Comb W, 64 bits

$$\text{Soit } a(x) = \sum_{i=0}^{63} \sum_{j=0}^{t-1} x^{64j} \cdot a_{i+64j} \cdot x^i, \text{ avec } t = \frac{\lceil m-1 \rceil}{64}$$

## Multiplication de polynômes Left-to-Right Comb W, 64 bits

$$\text{Soit } a(x) = \sum_{i=0}^{63} \sum_{j=0}^{t-1} x^{64j} \cdot a_{i+64j} \cdot x^i, \text{ avec } t = \frac{\lceil m-1 \rceil}{64}$$

$$= \sum_{k=0}^{15} \sum_{j=0}^{t-1} x^{4k+64j} \cdot u_{kj}(x), \text{ avec } u_{kj}(x) \text{ de degré au plus 3.}$$

# Multiplication de polynômes Left-to-Right Comb W, 64 bits

$$\text{Soit } a(x) = \sum_{i=0}^{63} \sum_{j=0}^{t-1} x^{64j} \cdot a_{i+64j} \cdot x^i, \text{ avec } t = \frac{\lceil m-1 \rceil}{64}$$

$$= \sum_{k=0}^{15} \sum_{j=0}^{t-1} x^{4k+64j} \cdot u_{kj}(x), \text{ avec } u_{kj}(x) \text{ de degré au plus 3.}$$

$$\text{Alors } c(x) = a(x) \cdot b(x) = \sum_{k=0}^{15} \sum_{j=0}^{t-1} x^{4k+64j} \cdot u_{kj}(x) \cdot b(x)$$

# Multiplication de polynômes **Left-to-Right Comb W**, 64 bits

$$\text{Soit } a(x) = \sum_{i=0}^{63} \sum_{j=0}^{t-1} x^{64j} \cdot a_{i+64j} \cdot x^i, \text{ avec } t = \frac{\lceil m-1 \rceil}{64}$$

$$= \sum_{k=0}^{15} \sum_{j=0}^{t-1} x^{4k+64j} \cdot u_{kj}(x), \text{ avec } u_{kj}(x) \text{ de degré au plus 3.}$$

$$\text{Alors } c(x) = a(x) \cdot b(x) = \sum_{k=0}^{15} \sum_{j=0}^{t-1} x^{4k+64j} \cdot u_{kj}(x) \cdot b(x)$$

- 1: Calcule  $B_u(x) = u(x) \cdot b(x)$  pour tous polynômes  $u(x)$  de degré au plus 3.
- 2:  $C \leftarrow 0$
- 3: **for**  $k$  de 15 à 0 // 64 bits =  $16 \times 4$ . **do**
- 4:     **for**  $j$  de 0 à  $t-1$  // tableaux de  $t$  mots de 64 bits. **do**
- 5:         Soit  $u = (u_3, u_2, u_1, u_0)$ , où  $u_i$  est le bit  $(4k+i)$  de  $A[j]$ . Ajoute  $B_u$  et  $C\{j\}$ .
- 6:     **end for**
- 7:     **if**  $k \neq 0$  **then**
- 8:          $C \leftarrow C \cdot x^4$ .
- 9:     **end if**
- 10: **end for**
- 11: **return**  $(C)$ .

## Produits élémentaires : PCLMULQDQ 128 bits (\_\_m128i)

Pour multiplier deux polynômes de degré au plus 63 (avec les processeurs Intel i3, i5, ou i7) :

- Multiplication "Carry-less" : **L-R Comb W** (64 bits) devient

```
__m128i x = _mm_load_si128( (__m128i const *) &A);  
__m128i y = _mm_load_si128( (__m128i const *) &B);  
__m128i z = _mm_clmulepi64_si128 (x, y, 0);
```

```
C[0] = _mm_extract_epi64(z,0);
```

```
C[1] = _mm_extract_epi64(z,1);
```

## Optimisation $AB, AC$

- Pour additionner deux points en coordonnées mixtes (Lopez-Dahab), nous avons :

$$\begin{cases} F = X_3 + X_2 \cdot Z_3, \\ G = X_3 + Y_2 \cdot Z_3. \end{cases}$$

$F$  et  $G$  sont deux paramètres dans le calcul de  $Y_3$ .

- Le principe : la combinaison du calcul de  $X_2 \cdot Z_3$  et de  $Y_2 \cdot Z_3$  dans l'algorithme **L-R Comb W**, permet de ne calculer qu'une seule table des polynômes  $u_i \cdot Z_3$ , où  $u_i$  sont de degré au plus 3.



## Optimisation $AB + CD$ L-R Comb W 64 bits

**Require:** Polynômes binaires  $a(x)$ ,  $b(x)$ ,  $c(x)$ ,  $d(x)$  de degré au plus 63.

**Ensure:**  $e(x) = a(x) \cdot b(x) + c(x) \cdot d(x)$ .

- 1: Calcul de  $B_u(x) = u(x) \cdot b(x)$  pour tous polynômes  $u(x)$  de degré au plus 3.
- 2: Calcul de  $D_u(x) = u(x) \cdot d(x)$  pour tous polynômes  $u(x)$  de degré au plus 3.
- 3:  $E \leftarrow 0$
- 4: **for**  $k$  de 15 à 1 **do**
- 5:   Soit  $u = (u_3, u_2, u_1, u_0)$ , où  $u_i$  est le bit  $(4k + i)$  de  $A$ .
- 6:   Soit  $v = (v_3, v_2, v_1, v_0)$ , où  $v_i$  est le bit  $(4k + i)$  de  $C$ .
- 7:    $E \leftarrow E \oplus B_u \oplus D_v$ .
- 8:    $E \leftarrow E \cdot x^4$ .
- 9: **end for**
- 10: Soit  $u = (u_3, u_2, u_1, u_0)$ , où  $u_i$  est le bit  $i$  of  $A$ .
- 11: Soit  $v = (v_3, v_2, v_1, v_0)$ , où  $v_i$  est le bit  $i$  de  $C$ .
- 12:  $E \leftarrow E \oplus B_u \oplus D_v$ .
- 13: **return**  $(E)$ .

## Optimisation $AB + CD$ L-R Comb W 64 bits

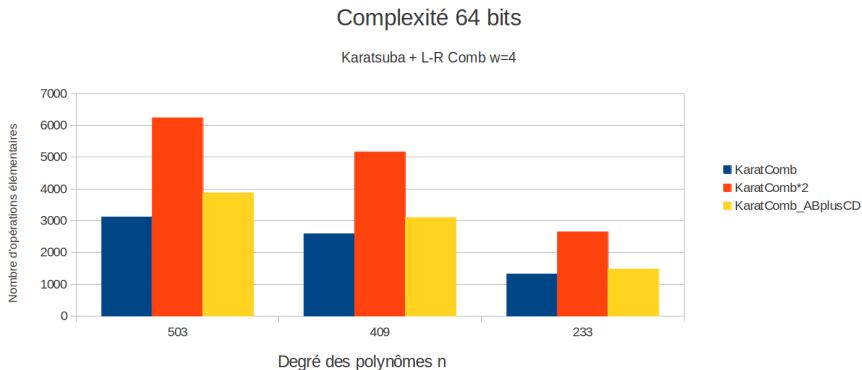
**Require:** Polynômes binaires  $a(x)$ ,  $b(x)$ ,  $c(x)$ ,  $d(x)$  de degré au plus 63.

**Ensure:**  $e(x) = a(x) \cdot b(x) + c(x) \cdot d(x)$ .

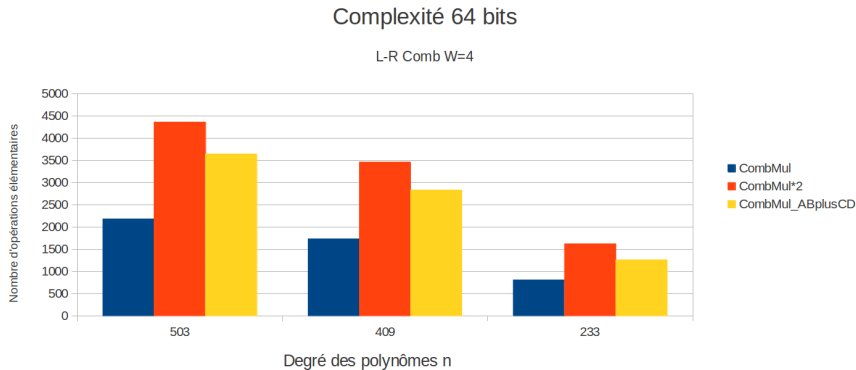
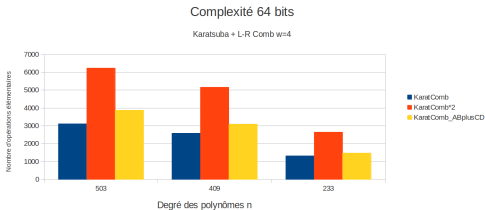
- 1: Calcul de  $B_u(x) = u(x) \cdot b(x)$  pour tous polynômes  $u(x)$  de degré au plus 3.
- 2: Calcul de  $D_u(x) = u(x) \cdot d(x)$  pour tous polynômes  $u(x)$  de degré au plus 3.
- 3:  $E \leftarrow 0$
- 4: **for**  $k$  de 15 à 1 **do**
- 5:    Soit  $u = (u_3, u_2, u_1, u_0)$ , où  $u_i$  est le bit  $(4k + i)$  de  $A$ .
- 6:    Soit  $v = (v_3, v_2, v_1, v_0)$ , où  $v_i$  est le bit  $(4k + i)$  de  $C$ .
- 7:     $E \leftarrow E \oplus B_u \oplus D_v$ .
- 8:     $E \leftarrow E \cdot x^4$ .
- 9: **end for**
- 10: Soit  $u = (u_3, u_2, u_1, u_0)$ , où  $u_i$  est le bit  $i$  of  $A$ .
- 11: Soit  $v = (v_3, v_2, v_1, v_0)$ , où  $v_i$  est le bit  $i$  de  $C$ .
- 12:  $E \leftarrow E \oplus B_u \oplus D_v$ .
- 13: **return**  $(E)$ .

Avec l'Algorithme de Karatsuba : **une seule reconstruction finale** au lieu de deux.

# Optimisations $AB$ , $AC$ et $AB + CD$ : bilan de complexité



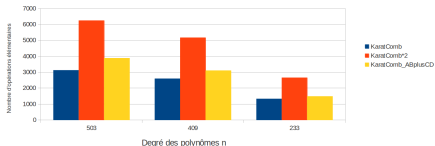
# Optimisations $AB$ , $AC$ et $AB + CD$ : bilan de complexité



# Optimisations $AB$ , $AC$ et $AB + CD$ : bilan de complexité

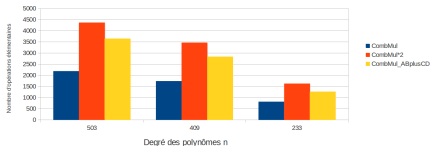
Complexité 64 bits

Karatsuba + L-R Comb w=4

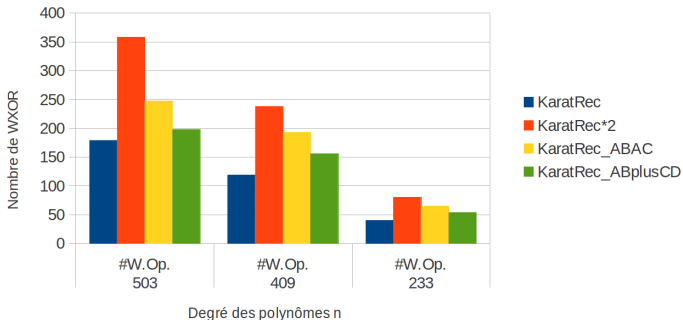


Complexité 64 bits

L-R Comb W=4



## Complexité avec PCLMUL



# Algorithmes et Implémentations Optimisées

## 1 Problématique

- Exemple d'Application : Échange de clé de Diffie-Hellmann
- Le Produit Scalaire de Points
- Optimisation  $AB, AC$  et  $AB + CD$

## 2 Implémentations

- **Vue Générale des Implémentations**
- Implémentations du Produit Scalaire : Atteindre l'Etat de l'Art
- Optimisations du Produit Scalaire

## 3 Conclusion

## Principaux Paramètres

Le *NIST* recommande les valeurs de  $m$  et des différents paramètres.

- L'équation de la courbe est  $E : y^2 + xy = x^3 + x^2 + b$  ;

## Principaux Paramètres

Le *NIST* recommande les valeurs de  $m$  et des différents paramètres.

- L'équation de la courbe est  $E : y^2 + xy = x^3 + x^2 + b$  ;
- On considère les deux corps binaires  $\mathbb{F}_{2^{233}}$  défini avec :

$$f(x) = x^{233} + x^{74} + 1$$

et  $\mathbb{F}_{2^{409}}$  défini avec :

$$f(x) = x^{409} + x^{87} + 1$$



## Principaux Paramètres

Le *NIST* recommande les valeurs de  $m$  et des différents paramètres.

- L'équation de la courbe est  $E : y^2 + xy = x^3 + x^2 + b$  ;
- On considère les deux corps binaires  $\mathbb{F}_{2^{233}}$  défini avec :

$$f(x) = x^{233} + x^{74} + 1$$

et  $\mathbb{F}_{2^{409}}$  défini avec :

$$f(x) = x^{409} + x^{87} + 1$$

- Les polynômes binaires se représentent sous la forme de tableaux hexadécimaux.

## Principaux Paramètres

Le *NIST* recommande les valeurs de  $m$  et des différents paramètres.

- L'équation de la courbe est  $E : y^2 + xy = x^3 + x^2 + b$  ;
- On considère les deux corps binaires  $\mathbb{F}_{2^{233}}$  défini avec :

$$f(x) = x^{233} + x^{74} + 1$$

et  $\mathbb{F}_{2^{409}}$  défini avec :

$$f(x) = x^{409} + x^{87} + 1$$

- Les polynômes binaires se représentent sous la forme de tableaux hexadécimaux.
- Le point générateur est  $P = (G_x, G_y)$ . Exemple, pour  $m = 233$  :

$$\begin{cases} G_x = 0fa\ c9dfcbac\ 8313bb21\ 39f1bb75\ 5fef65bc\ 391f8b36\ f8f8eb73\ 71fd558b \\ G_y = 100\ 6a08a419\ 03350678\ e58528be\ bf8a0bef\ f867a7ca\ 36716f7e\ 01f81052 \end{cases}$$

## Plate-formes d'expérimentations :

- Codes écrits en langage C (gcc 4.6.1 x86\_64 compiler);
- Système d'Exploitation Linux, distribution UBUNTU (11.10).

Plate-formes			
		Dell Insp. 15R	Dell Optiplex 990
Processeur Intel 64 bits	Core 2 Duo	Core i5	Core i7
nombre de cœurs	2	4	8
Mémoire cache de niveau L3	2Mo	3Mo	8 Mo
Mémoire cache de niveau L1	32 ko	32 ko	32 ko
Multiplication <i>Carry-less</i> (PCLMULQDQ)	NON	OUI	OUI
Registres Multimedia (variables de type <code>__m128i</code> )	OUI	OUI	OUI

# Algorithmes et Implémentations Optimisées

## 1 Problématique

- Exemple d'Application : Échange de clé de Diffie-Hellmann
- Le Produit Scalaire de Points
- Optimisation  $AB, AC$  et  $AB + CD$

## 2 Implémentations

- Vue Générale des Implémentations
- Implémentations du Produit Scalaire : Atteindre l'Etat de l'Art
- Optimisations du Produit Scalaire

## 3 Conclusion

## Implémentations, Expérimentations : Atteindre l'Etat de l'Art

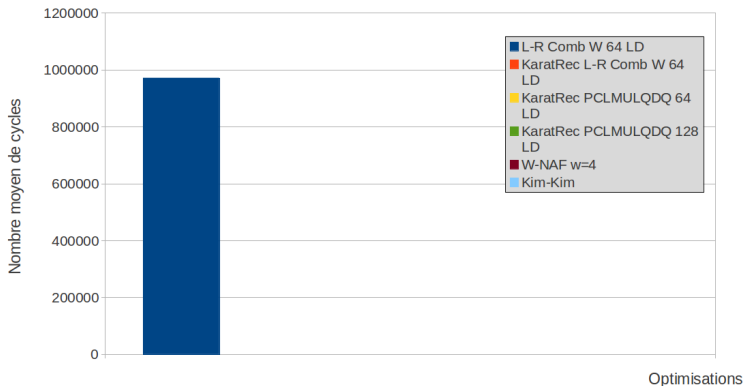
Une implémentation optimisée du produit scalaire se présente comme suit :

- La meilleure multiplication de polynômes : Karatsuba avec multiplication "carry-less" PCLMULQDQ ;
- Utilisation des registres multimédias pour encoder les polynômes (type `__m128i`) ;
- Représentation d'entiers *W-NAF* avec  $w = 4$  ;
- Inversion de polynôme optimisée (calculs de carrés multiples tabulés) ;
- Doublement et addition de points de courbe elliptique Kim-Kim ;

# Expérimentations : Atteindre l'Etat de l'Art (i5)

## Optimisations

Produit scalaire de points ECC

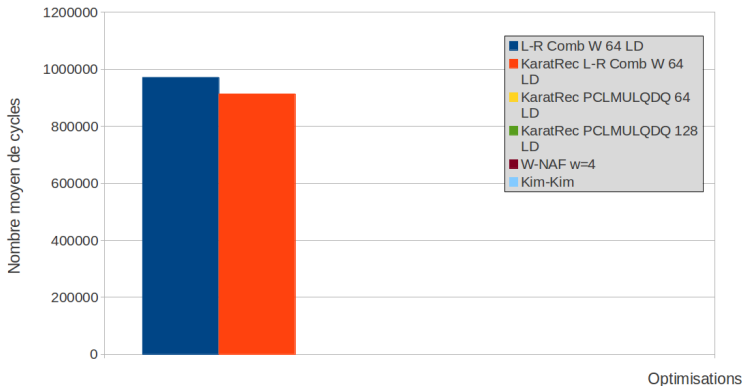


$m = 233$

# Expérimentations : Atteindre l'Etat de l'Art (i5)

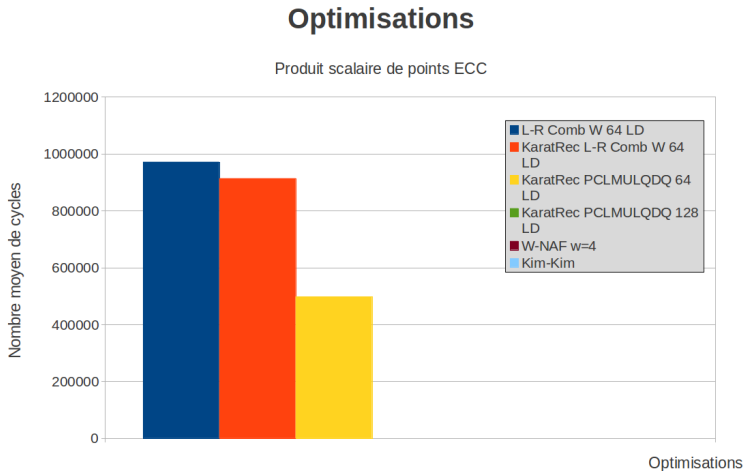
## Optimisations

Produit scalaire de points ECC



KaratRec L-R Comb W : -5,96%

# Expérimentations : Atteindre l'Etat de l'Art (i5)



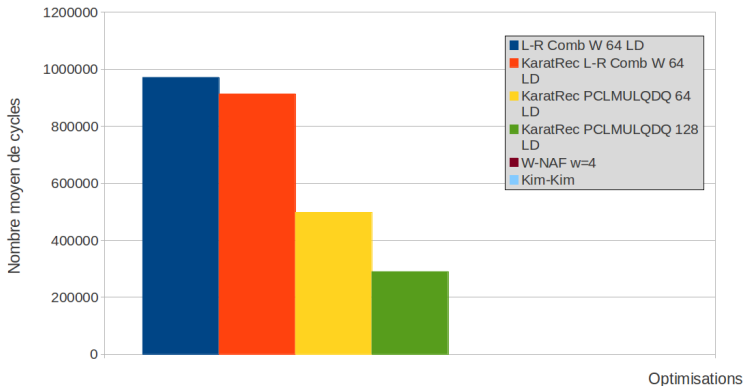
KaratRec PCLMULQDQ : -45,5%



# Expérimentations : Atteindre l'Etat de l'Art (i5)

## Optimisations

Produit scalaire de points ECC

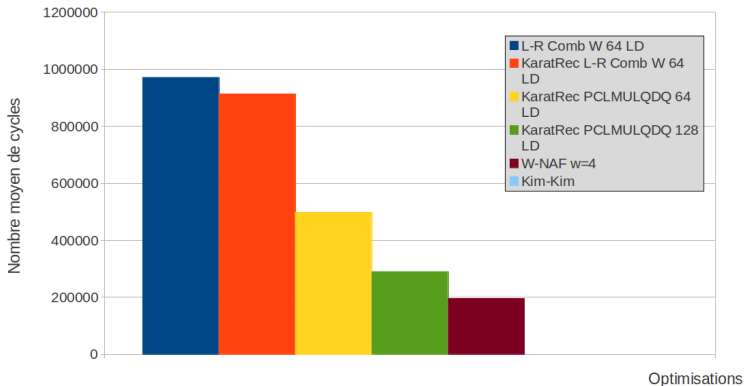


\_\_m128i : -41,8%

# Expérimentations : Atteindre l'Etat de l'Art (i5)

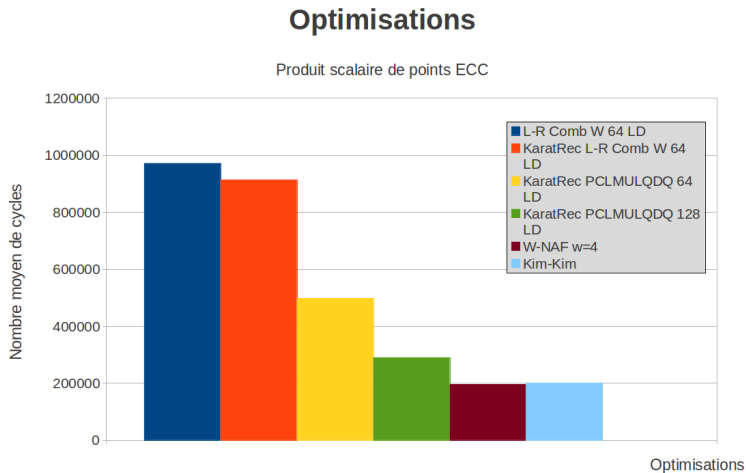
## Optimisations

Produit scalaire de points ECC



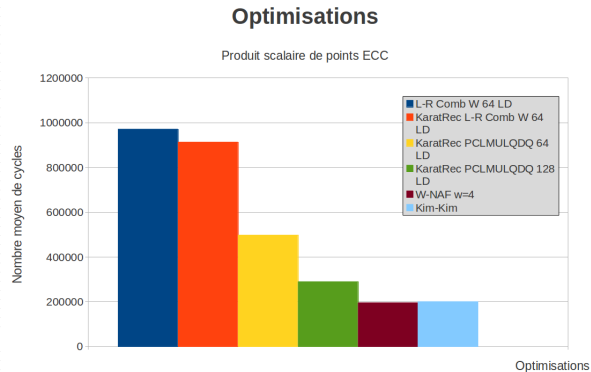
*W-NAF*  $w = 4$  : -32,7%

# Expérimentations : Atteindre l'Etat de l'Art (i5)



Opérations Kim-Kim : +3,13%

# Expérimentations : Atteindre l'Etat de l'Art (i5)



Comparaison : Nombre de Cycles Moyens (2000 exécutions)

	Etat de l'Art (i5) <sup>1</sup>	nos résultats (i5)	nos résultats (i7)
<b><i>W-NAF Double-and-add</i> <math>m = 233</math></b>	216700	201312 (7.10%)	233850
<b><i>W-NAF Double-and-add</i> <math>m = 409</math></b>	871600	787385 (9.66%)	912795

<sup>1</sup>selon J. Taverne et al., CHES 2011.

# Algorithmes et Implémentations Optimisées

## 1 Problématique

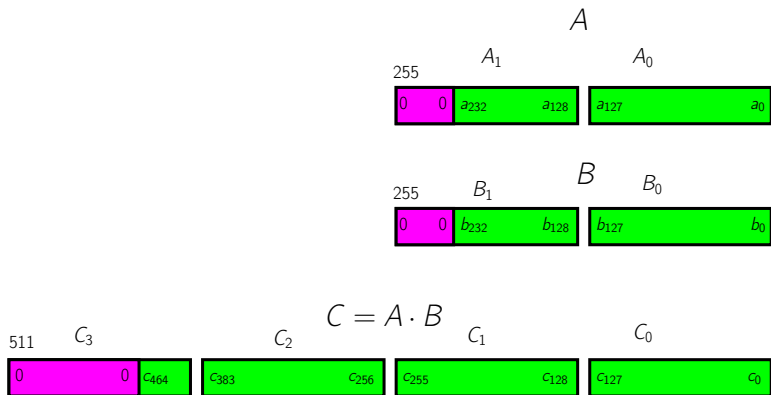
- Exemple d'Application : Échange de clé de Diffie-Hellmann
- Le Produit Scalaire de Points
- Optimisation  $AB$ ,  $AC$  et  $AB + CD$

## 2 Implémentations

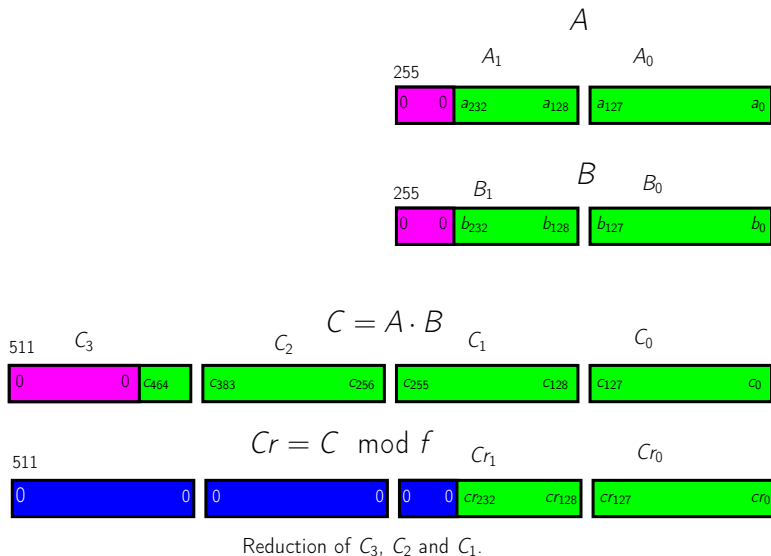
- Vue Générale des Implémentations
- Implémentations du Produit Scalaire : Atteindre l'Etat de l'Art
- Optimisations du Produit Scalaire

## 3 Conclusion

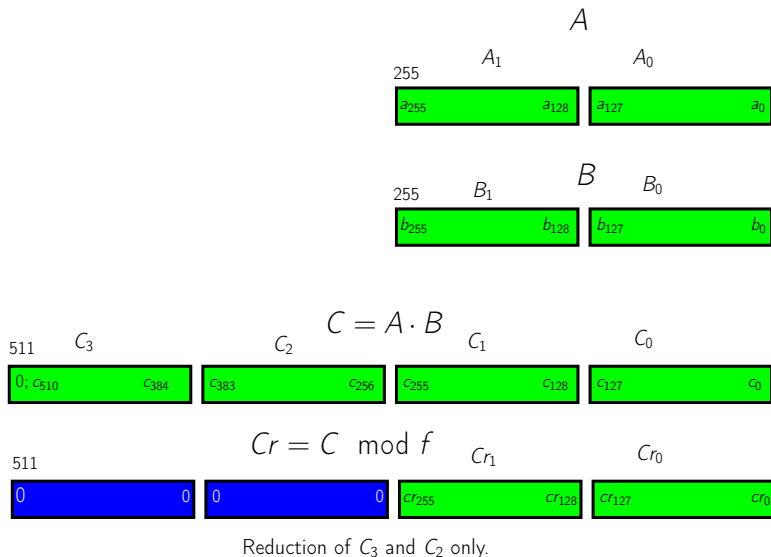
# Very Lazy Reduction ( $m = 233, \_m128i$ ) : le juste nécessaire



# Very Lazy Reduction $(m = 233, \_m128i)$ : le juste nécessaire



# Very Lazy Reduction $(m = 233, \_m128i)$ : le juste nécessaire

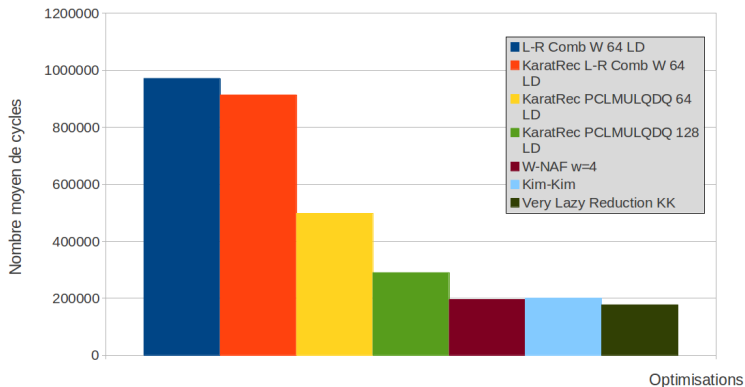




# Very Lazy Reduction ( $m = 233, \_m128i$ ) : Performances des Implémentations.

## Optimisations

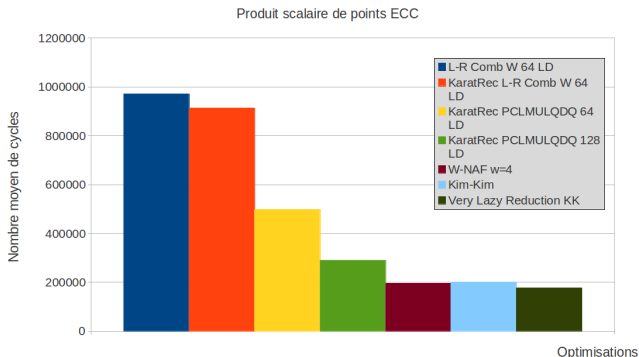
Produit scalaire de points ECC



Very Lazy reduction sur *W-NAF* (i5) : -11,9%

# Very Lazy Reduction ( $m = 233, \_m128i$ ) : Performances des Implémentations.

## Optimisations

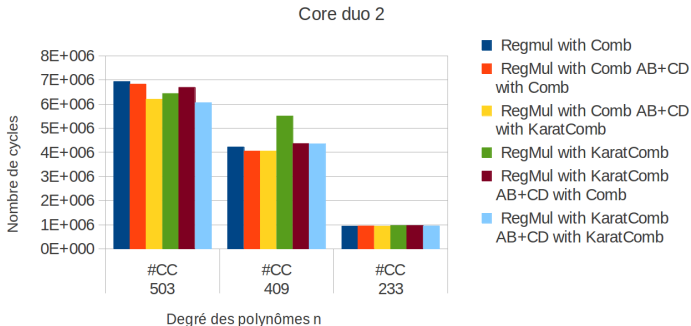


Comparaison : Nombre de Cycles Moyens (2000 exécutions)			
	Etat de l'Art (i5) <sup>2</sup>	nos résultats (i5)	nos résultats (i7)
<b><i>W-NAF Double-and-add</i></b> $m = 233, w = 4$	216700	177419 (18.13%)	210195 (3.002%)

<sup>2</sup>selon J. Taverne et al., CHES 2011.

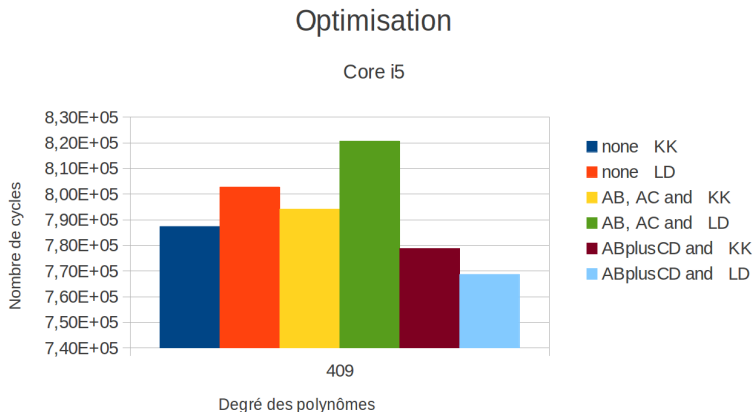
# Optimisation $AB$ , $AC$ et $AB + CD$ , Principaux Résultats :

## Opimisation $AB + CD$



- $m = 233$  : **Regmul with Comb** reste le meilleur.
- $m = 409$  : **Regmul with Comb and  $AB+CD$  with Comb** est 4,1% meilleure que Regmul with Comb.
- $m = 503$  : **Regmul with Karat-Comb and  $AB+CD$  with Karat-Comb** est 5,9% meilleure que Regmul with Karat-Comb.

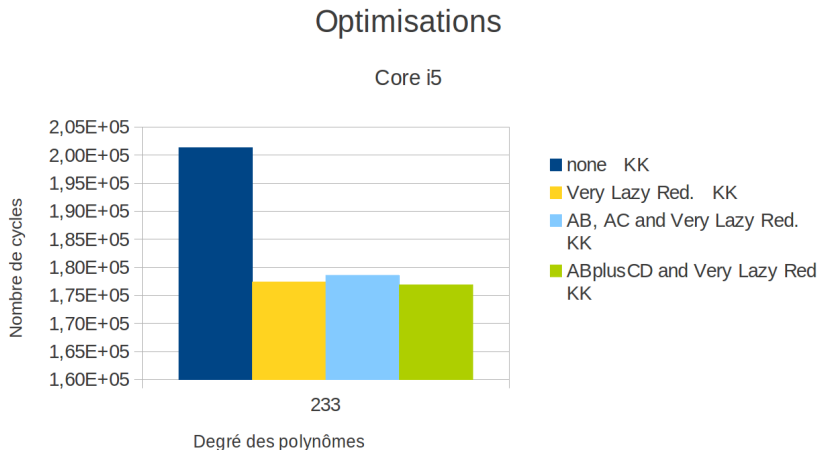
# Optimisation $AB$ , $AC$ et $AB + CD$ , Principaux Résultats :



- $AB, AC$  : L'optimisation n'apporte rien.
- $AB + CD$  : Meilleure configuration avec opérations LD (768711 cycles soit 2,4% de mieux que none KK).

Toutes versions avec Very Lazy Reduction.

# Optimisation $AB$ , $AC$ et $AB + CD$ , Principaux Résultats :



- **AB+CD and Very Lazy Reduction KK** : -0,3% /Very Lazy Red. KK)

Toutes versions avec Very Lazy Reduction.

# Algorithmes et Implémentations Optimisées

## 1 Problématique

- Exemple d'Application : Échange de clé de Diffie-Hellmann
- Le Produit Scalaire de Points
- Optimisation  $AB, AC$  et  $AB + CD$

## 2 Implémentations

- Vue Générale des Implémentations
- Implémentations du Produit Scalaire : Atteindre l'Etat de l'Art
- Optimisations du Produit Scalaire

## 3 Conclusion

## Conclusion et Perspectives :

- Nous avons atteint l'état de l'art en matière de performance sur les produits scalaires ;
- Nous avons testé deux optimisations :
  - ▶  $AB, AC$  ;
  - ▶  $AB + CD$  ;

## Conclusion et Perspectives :

- Nous avons atteint l'état de l'art en matière de performance sur les produits scalaires ;
- Nous avons testé deux optimisations :
  - ▶  $AB, AC$  ;
  - ▶  $AB + CD$  ;

Des gains sont observés dans certaines conditions :  
 $AB + CD, m = 409, m = 503.$



## Conclusion et Perspectives :

- Nous avons atteint l'état de l'art en matière de performance sur les produits scalaires ;
- Nous avons testé deux optimisations :
  - ▶  $AB, AC$  ;
  - ▶  $AB + CD$  ;

Des gains sont observés dans certaines conditions :  
 $AB + CD, m = 409, m = 503$ .

Les performances ne dépendent pas seulement des algorithmes, mais aussi :

- Des types de variables choisis (64 ou 128 bits) ;
- Du compilateur ;
- Du processeur (tailles des mémoires cache, pipelining...).

Nous avons exploré une partie de la combinatoire des possibilités.

Je vous remercie de votre attention,

et suis à l'écoute de vos questions ?